



Замечание Боба Гринье

Matsumoto - Подводные искровые разряды

Proceedings of the 5th International Conference on Cold Fusion. 1995, p. 584

<https://www.lenr-canr.org/acrobat/PonsSproceedinga.pdf>

### Emission of Radiations

Radiations were monitored by a CsI(Tl) scintillation spectroscopy, which was placed over the water surface. When the sparks appeared, the counting rate was significantly higher than the background. The energy spectra of the radiations were continuous and declined monotonously as the energy increased. The high energy tail expanded more widely as the voltage increased. The intensity of the radiations dropped sharply as the distance between the detector and the electrodes increased. The radiations were neither gamma rays nor X-rays. The signals were generated by electromagnetic waves picked up with the circuit.

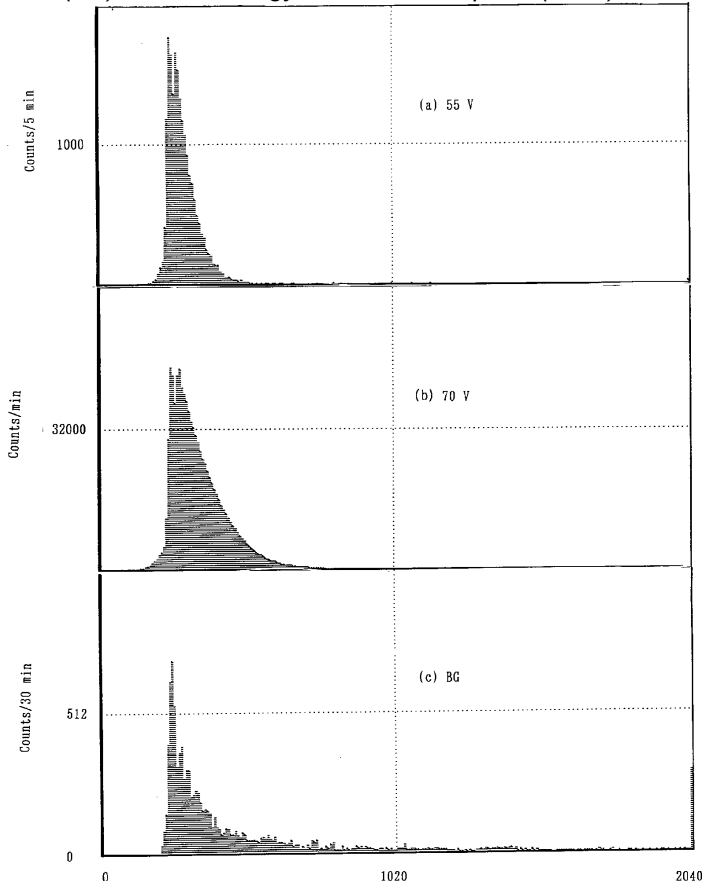
### Испускание излучений

Излучение контролировалось с помощью сцинтилляционной спектроскопии CsI(Tl), которая была помещена над поверхностью воды. При появлении искр скорость счета была значительно выше фоновой. Энергетические спектры излучений были непрерывными и монотонно уменьшались по мере увеличения энергии. Высокоэнергетический хвост расширялся все больше по мере увеличения напряжения. Интенсивность излучения резко падала с увеличением расстояния между детектором и электродами. Излучения не были ни гамма-лучами, ни рентгеновскими лучами. Сигналы генерировались электромагнитными волнами, улавливаемыми цепью.

[Steps to the Discovery of Electro-Nuclear Collapse, Matsumoto, T. \(Draft 26: pp. 0-289 321.9MB \[all pages\]\) LATEST VERSION DOWNLOAD](#)

p. 216

Ref. (59) *J. New Energy*, Vol. 1, No. 4, p. 79 (1996).



## **Emission of Radiation**

*The emission of radiations was monitored by the CsI(Tl) scintillation spectroscopy. Certain kinds of radiation were observed to be released through the wall of the glass beaker.*

*The CsI(Tl) scintillation detector was alternatively placed outside the glass beaker and over the water surface. The detector measured the emission of radiation in the high voltages in both cases. The energy spectrum of the radiations were continuous and monotonously declined as the energy increased. The typical spectra are shown in Fig. 6. The background was measured with no discharges. The counting rate was significantly higher than the background. As the voltage increased, the energy tail expanded more widely. The intensity of the radiation sharply dropped as the distance between the detector and the cathode increased.*

*The radiation detected was neither gamma rays nor X-rays. The signals were generated by electromagnetic waves picked up with the electrical circuit. The emission of the electromagnetic waves will be discussed relating to the break-up of the ionic clusters.*

## **Испускание излучений**

Эмиссия излучения контролировалась с помощью сцинтилляционной спектроскопии CsI(Tl).

Определенные виды излучения наблюдались через стенку стеклянного стакана.

Сцинтилляционный детектор CsI(Tl) поочередно помещался снаружи стеклянного стакана и над поверхностью воды. Детектор измерял излучение при высоких напряжениях в обоих случаях.

Энергетический спектр излучения был непрерывным и монотонно уменьшался по мере увеличения энергии. Типичные спектры показаны на рис. 6. Фон измерялся при отсутствии разрядов. Скорость счета была значительно выше, чем фон. По мере увеличения напряжения энергетический хвост расширялся все больше. Интенсивность излучения резко падала по мере увеличения расстояния между детектором и катодом.

Обнаруженное излучение не было ни гамма-лучами, ни рентгеновскими лучами. Сигналы генерировались электромагнитными волнами, улавливаемыми электрической цепью. Излучение электромагнитных волн будет обсуждаться в связи с распадом железистых кластеров.

## **Bob**

Информация Цветкова С.

<http://lenr.seplm.ru/articles/i-chego-vy-ne-lyubite-kholodnyi-sintez-vy-prosto-ne-umeete-ego-gotovit>